

ДИНАМИЧЕСКИЕ ЗАДАЧИ МАГНИТОУПРУГОСТИ ДЛЯ СЛОЯ И  
ПОЛУСЛОЯ С ТУННЕЛЬНЫМИ ПОЛОСТАМИ И ТРЕЩИНАМИ  
ПРОДОЛЬНОГО СДВИГА

ОСТРИК В.И., ФИЛЬШТИНСКИЙ Л.А.

Օստրիկ Վ.Ի., Ֆիլշտինսկի Լ.Ա. Մագնիտառադականության դիմամիկայի խեղիքներ երկարական սահքի ճաքերով և բունելային խռովածքներով շերտի և կիսաշերտի բամար

Հետազոտվությունը է ուժեղ մագնիտական դաշտի ազդեցությանը սահքի ալիքների և առաջական իդեալական հաղորդիչ շերտում կամ կիսաշերտում բունելային խռովածքների ու ճաքերի փոխազդեցության վրա: Ելուարկվող եզրային խեղիքներում սահպատճառ սիմետրիա-դիֆերենցիալ բավարարությունը հետազոտվությունը է բարձրացնելու համար:

Изучается влияние сильного магнитного поля на взаимодействие волны сдвига с туннельными полостями и трещинами в упругом идеально-проводящем слое и полуслое. Полученное сингулярное интегро-дифференциальное уравнение рассматриваемой краевой задачи реализовано численно.

Osirik V.I., Filshinsky L.A. Dynamic Problems of Magnetic Elasticity for a Layer and a Semilayer With a Tunnel Cavities and a Cracks

На характер волновых полей в электропроводных телах значительное влияние оказывают внешние магнитные поля. Возникающие при этом силы Лоренца необходимо учитывать в уравнениях движения упругой среды, что приводит к появлению дополнительного тензора максвелловских напряжений [1,2].

В рамках этого подхода ниже изучается влияние сильного магнитного поля на взаимодействие волны сдвига с туннельными концентраторами напряжений в упругом идеально проводящем (диа пара) магнитном слое и полуслое (подобная задача для прямолинейной трещины в неограниченной среде рассмотрена в [3]). Используется метод решения динамических задач теории упругости для тел с криволинейными разрезами, предложенный в работах [4,5].

1. Будем рассматривать идеально проводящий упругий слой ( $0 \leq x \leq a$ ,  $-\infty \leq y \leq \infty$ ,  $-\infty < z' < \infty$ ) или полуслой ( $0 \leq x \leq a$ ,  $0 \leq y < \infty$ ,  $-\infty < z' < \infty$ ), находящиеся в статическом магнитном поле с напряженностью  $\vec{H}^0 = (0, H_0, 0)$  и ослабленные цилиндрическими вдоль оси  $z'$  трещинами и полостями.

В результате механического возбуждения, вызывающего движение частиц упругой среды, в теле возникает электромагнитное поле  $\vec{H} = \vec{H}^0 + \vec{h}$ ,  $\vec{E} = \vec{e}$ , где  $\vec{h}$ ,  $\vec{e}$  - малые флуктуации магнитного и электрического полей соответственно. Стационарное поле

квазистатическим ( $\vec{D} = 0$ ,  $\frac{\partial \vec{D}}{\partial t} = 0$ ,  $\vec{D}$  - электрическое смещение,  $t$ -время), получаем из уравнений Максвелла и линеаризованных уравнений движения [1]:

$$\vec{h} = \text{rot}(\vec{U} \times \vec{H}^0), \quad \vec{e} = -\mu_e \left( \frac{\partial \vec{U}}{\partial t} \times \vec{H}^0 \right) \quad (1.1)$$

$$\mu \nabla^2 \vec{U} + (\lambda + \mu) \text{grad} \text{div} \vec{U} + \mu_e \text{rot} \vec{h} \times \vec{H}^0 = \rho \frac{\partial \vec{U}}{\partial t^2}$$

где  $\vec{U}$  - вектор упругого смещения,  $\lambda$ ,  $\mu$  - параметры Ламе,  $\mu_e$  - магнитная проницаемость,  $\rho$  - плотность среды,  $\nabla^2$  - дифференциальный оператор Лапласа.

Пусть из бесконечности излучается магнитоупругая сдвиговая волна смещения  $w_0$  [3] а поверхности концентраторов либо свободны от сил, либо подвержены воздействию гармонической во времени и не зависящей от координаты  $z$  сдвиговой нагрузки. В этом случае в теле возникает стационарный волновой процесс, соответствующий состоянию антиплоской деформации:  $\vec{U} = (0, 0, w)$ ,  $w = \text{Re}(W(x, y) e^{i\omega t})$  ( $\omega$  - круговая частота). Исключая из (1.1) время, приходим к дифференциальному уравнению относительно амплитуды смещения  $W(x, y)$

$$\nabla^2 W + \chi^2 \frac{\partial^2 W}{\partial y^2} + \gamma_2^2 W = 0 \quad \left( \chi^2 = \frac{\mu_e H_0^2}{\mu}, \gamma_2^2 = \frac{\rho \omega^2}{\mu} \right) \quad (1.2)$$

Суммарные напряжения  $\sigma_{xz}$ ,  $\sigma_{yz}$  складываются из механических  $\tau_{xz}$ ,  $\tau_{yz}$  и максвелловских  $t_{xz}$ ,  $t_{yz}$  и выражаются через смещение  $w(x, y)$  по формулам

$$\sigma_{xz} = \tau_{xz} + t_{xz}, \quad \sigma_{yz} = \tau_{yz} + t_{yz} \quad (1.3)$$

$$\tau_{xz} = \frac{\mu \partial w}{\partial x}, \quad \tau_{yz} = \frac{\mu \partial w}{\partial y}, \quad t_{xz} = 0, \quad t_{yz} = \frac{\mu \chi^2 \partial w}{\partial y}$$

Предположим, что основания слоя (полуслоя) свободны от сил

$$\frac{\partial W}{\partial x} = 0 \quad (x = 0, x = a) \quad (1.4)$$

а торцевая граница полуслоя закреплена

$$W = 0 \quad (y = 0) \quad (1.5)$$

или свободна

$$\frac{\partial W}{\partial y} = 0 \quad (y = 0) \quad (1.6)$$

Считаем, что вдоль отрицательного направления оси  $oy$  распространяется магнитоупругая волна сдвига

$$w_0 = \text{Re}(W_0(y) e^{-i\omega t}), \quad W_0 = \tau \exp\left(-\frac{i\gamma_2 y}{\sqrt{1+\chi^2}}\right) \quad (1.7)$$

а на поверхности трещин  $S_j$  ( $j = \overline{1, m_1}$ ) или полостей  $S_j$  ( $j = \overline{m_1 + 1, m}$ ,  $m = m_1 + m_2$ ) возможно действие гармонической волны механической нагрузки.

Пусть  $L_j$ -линия пересечения поверхности  $S_j$ - с плоскостью  $x_0y$ ,  $n = (\cos\psi, \sin\psi)$ -единичная (внутренняя для полости) нормаль к  $L_j$ . Будем предполагать, что кривизна дуги  $L_j$ - функция класса Н [6]. Краевое условие на контуре трещины (полости) запишется в виде:

$$\left( \frac{\partial W}{\partial n} \right) |_{L_j} = \frac{1}{\mu} z \quad (j = \overline{1, m}) \quad (1.8)$$

Разрешающее уравнение (1.2) при переходе к новым координатам

$$x_1 = x, \quad y_1 = \frac{y}{\sqrt{1 + \chi^2}}$$

преобразуется в уравнение Гельмгольца

$$\frac{\partial^2 W}{\partial x_1^2} + \frac{\partial^2 W}{\partial y_1^2} + \gamma_2^2 W = 0 \quad (1.9)$$

Дифференциалы  $ds_1$ ,  $ds$  дуги  $L_j$  в системах координат  $x_10y_1$  и  $x_0y$  связаны соотношением  $(1 + \chi^2 \sin^2 \psi) ds^2 = (1 + \chi^2) ds_1^2$ .

Решение краевой задачи (1.2), (1.4)-(1.8) представим в виде суммы падающей, отраженной и рассеянной волн:

$$W = W_0 + AW_1 + W_s, \quad W_1 = r \exp(i\gamma_2 y_1) \quad (2.1)$$

$$W_s(x, y) = -i \int_L [p(s) \left( \frac{\partial G}{\partial \xi_1} d\xi_1 - \frac{\partial \bar{G}}{\partial \bar{\xi}_1} d\bar{\xi}_1 \right) -$$

$$- \frac{i\chi^2 \sin 2\psi}{2\sqrt{1 + \chi^2}} p'(s) G ds] + \int_L p(s) G ds_1$$

$$\Gamma = L \cup I, \quad L \cap I = \emptyset, \quad L = \bigcup_{j=1}^{m_1} L_j, \quad I = \bigcup_{j=m_1+1}^m I_j$$

$$G(\xi, x, \eta_1, y_1) = g(\xi, x, \eta_1 - y_1) + Ag(\xi, x, -\eta_1 - y_1)$$

$$\zeta_1 = \delta + i\eta_1, \quad \eta_1 = \frac{\eta}{\sqrt{1 + \chi^2}}, \quad \zeta = \xi + i\eta \in \Gamma, \quad z = x + iy$$

Здесь  $W_1(x, y)$ -амплитуда отраженной от торцевой границы полуслоя волны,  $W_s(x, y)$ -амплитуда рассеянной концентраторами волны;  $\Gamma$ -суммарный контур трещин и полостей,  $s$ -его дуговая координата;  $p(s)$ -неизвестная плотность;  $G$ -функция Грина краевой задачи (1.9), (1.4), (1.5) или (1.6) для полуполосы  $0 \leq x_1 \leq a$ ,  $0 \leq y_1 < \infty$ ;  $g$ -функция Грина краевой задачи (1.9), (1.4) для полосы  $0 \leq x_1 \leq a$ ,  $-\infty \leq y_1 < \infty$ ;  $A = 1$  в случае свободного,  $A = -1$ -закрепленного торцевого края полуслоя,  $A = 0$  в случае слоя.

Интегральное представление (2.1) удовлетворяет дифференциальному уравнению (1.2), граничным условиям (1.4), (1.5) или (1.6), условиям излучения [7], а также обеспечивает непрерывность механических напряжений и существование скачка перемещения на контуре  $L$ .

Функция Грина для полосы разыскивалась в форме ряда Фурье по координате  $x$  с последующим преобразованием Фурье по координате  $y_1$  и имеет вид:

$$g(\xi, x, \eta_1 - y_1) = \frac{1}{2i\gamma_2 a} \exp(i\gamma_2 |\eta_1 - y_1|) - \frac{1}{a} \sum_{k=1}^{\infty} \frac{1}{\lambda_k} \exp(-\lambda_k |\eta_1 - y_1|) \cos(\alpha_k \xi) \cos(\alpha_k x) \quad (2.2)$$

$$\lambda_k = \sqrt{\alpha_k^2 - \gamma_2^2} \quad (\gamma_2 < \alpha_k), \quad \lambda_k = -i\sqrt{\gamma_2^2 - \alpha_k^2} \quad (\gamma_2 > \alpha_k)$$

$$\alpha_k = \frac{\pi k}{a}$$

В случае, если  $\eta_1 = y_1$ , ряд в формуле (2.2) сходится условно, а при  $\xi = x$ ,  $\eta_1 = y_1$  становится расходящимся. Для устранения этого явления выделим его главную часть. Получим

$$g(\xi, x, \eta_1 - y_1) = g_0 + g_1$$

$$g_0 = \left( g - \frac{1}{2i\gamma_2 a} \exp(i\gamma_2 |\eta_1 - y_1|) \right) \Big|_{\gamma_2=0}$$

$$= \frac{1}{2\pi} \ln |4 \sin \frac{\pi}{2a}(\xi_1 - z_1)| \sin \frac{\pi}{2a}(\xi_1 + \bar{z}_1) + \frac{1}{2a} |\eta_1 - y_1|$$

$$g_1 = \frac{1}{2i\gamma_2 a} \exp(i\gamma_2 |\eta_1 - y_1|)$$

$$- \frac{1}{a} \sum_{k=1}^{\infty} \left( \frac{1}{\lambda_k} \exp(-\lambda_k |\eta_1 - y_1|) \right)$$

$$- \frac{1}{\alpha_k} \exp(-\alpha_k |\eta_1 - y_1|) \cos(\alpha_k \xi) \cos(\alpha_k x) \quad (2.3)$$

$$z_1 = x + i y_1$$

Отсюда видно, что функция  $g(\xi, x, \eta_1 - y_1)$ , а значит и функция Грина  $G$ , удовлетворяет уравнению (1.2), когда  $\xi \neq z$ , а при  $r_1 = |z - \xi| \rightarrow 0$  имеет логарифмическую особенность. Общий член ряда для  $g_1$  затухает как  $k^{-3}$  при  $r_1 = 0$  и экспоненциально при  $\eta_1 \neq y_1$ . Ряд (2.2) для второй составляющей  $g(\xi, x, -\eta_1 - y_1)$  функции Грина  $G$  сходится экспоненциально. Выполнение преобразования функции Грина дает возможность применить к ней операцию дифференцирования и обеспечивает существование ее вторых производных при  $\xi \neq z$ .

Вычисляя нормальную производную от функции  $W$  (2.1), регуляризую

расходящиеся интегралы интегрированием по частям и подставляя затем предельное значение нормальной производной при  $z \rightarrow \xi_0 = \xi_0 + i\eta G - \Gamma$  в краевое условие (1.8), приходим к сингулярному интегро-дифференциальному уравнению по контуру  $\Gamma$  относительно функции  $p(s)$

$$\begin{aligned} & \int_L [P'(s) \left( \operatorname{Im} \frac{c(\psi_0)}{\xi_0 - \xi_{01}} - \frac{\chi^2 \sin 2\psi}{2\sqrt{1+\chi^2}} \frac{\partial G}{\partial n_0} \right) ds \\ & - i p(s) \left( \frac{\partial^2 G_1}{\partial n_0 \partial \xi_1} d\xi_1 - \frac{\partial^2 G_1}{\partial n_0 \partial \bar{\xi}_1} d\bar{\xi}_1 \right)] + b(\psi_0) p(s_0) \\ & + \int_I p(s) \frac{\partial G}{\partial n_0} ds_1 = \frac{1}{\mu} Z - \frac{\partial}{\partial n_0} (W_0 + A W_1) \end{aligned} \quad (2.4)$$

$$c(\psi_0) = \cos \psi_0 + \frac{i}{\sqrt{1+\chi^2}} \sin \psi_0, \quad p = \int_a^\xi dp, \quad \xi \in L_j$$

$$G_1 = G - \frac{1}{2\pi} \ln |\xi_1 - \xi_{01}|, \quad \xi_{01} = \xi_0 + \frac{i\eta_0}{\sqrt{1+\chi^2}}$$

$$b(\psi_0) = -\frac{1}{2} (1 + \chi^2 \sin^2 \psi_0)^{-\frac{1}{2}} \quad (\xi_0 \in I), \quad b(\psi_0) = 0 \quad (\xi_0 \in L)$$

Здесь  $a_j$ -начало трещины,  $n_0 = (\cos \psi_0, \sin \psi_0)$ -единичная нормаль к контуру  $\Gamma$  в точке  $\xi_0$ , ядра  $\operatorname{Im} \left[ \frac{c(\psi_0)}{(\xi_1 - \xi_{01})} \right]$ ,  $\frac{\partial G}{\partial n_0}$ -сингулярные. Уравнение (2.4) необходимо рассматривать совместно с дополнительными условиями

$$\int_L p(s) ds = 0 \quad (j = \Gamma, m_1) \quad (2.5)$$

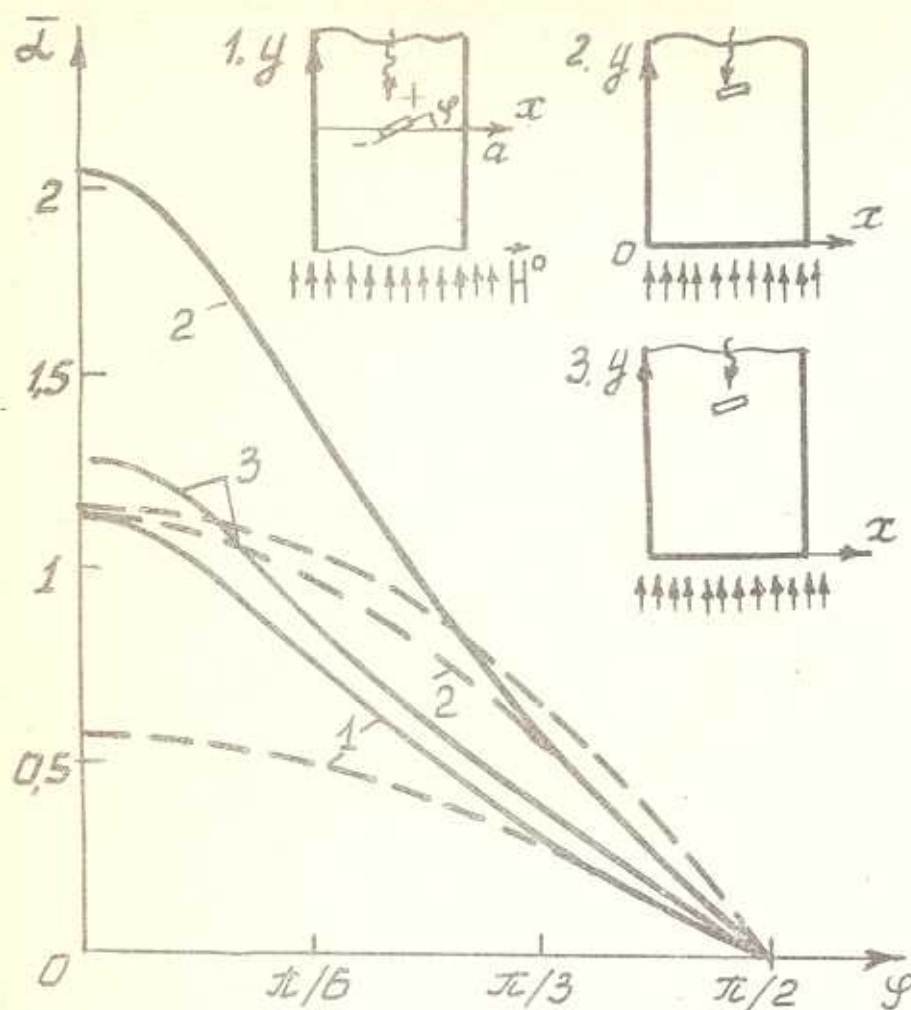
отражающими отсутствие скачков перемещения в вершинах разрезов. Уравнения (2.4), (2.5) однозначно определяют решение с неограниченной производной на концах разрезов. На контурах полостей  $p(s) \in H$  [6].

Ряды для вторых производных функции  $G_1$  в уравнении (2.4) при  $\eta_1 = \eta_1$  сходятся условно. После выделения главной части остаток ряда сходится не медленнее, чем  $k^{-3}$ .

Далее удобно ввести параметризацию контура разреза:  $\zeta = \zeta(\beta)$  ( $-1 \leq \beta \leq 1$ ). В соответствии с этим

$$p'(s) = \frac{\Omega(\beta)}{s'(\beta) \sqrt{1-\beta^2}}, \quad \Omega(\beta) \in H [-1, 1]$$

Для определения суммарных напряжений  $\sigma_{xz}, \sigma_{yz}$  в окрестности вершины дефекта воспользуемся интегральным представлением (2.1). Асимптотический анализ входящих в формулы для напряжений интегралов дает



Фиг.1. График зависимости величины  $\bar{\alpha}$  от угла ориентации  $\varphi$

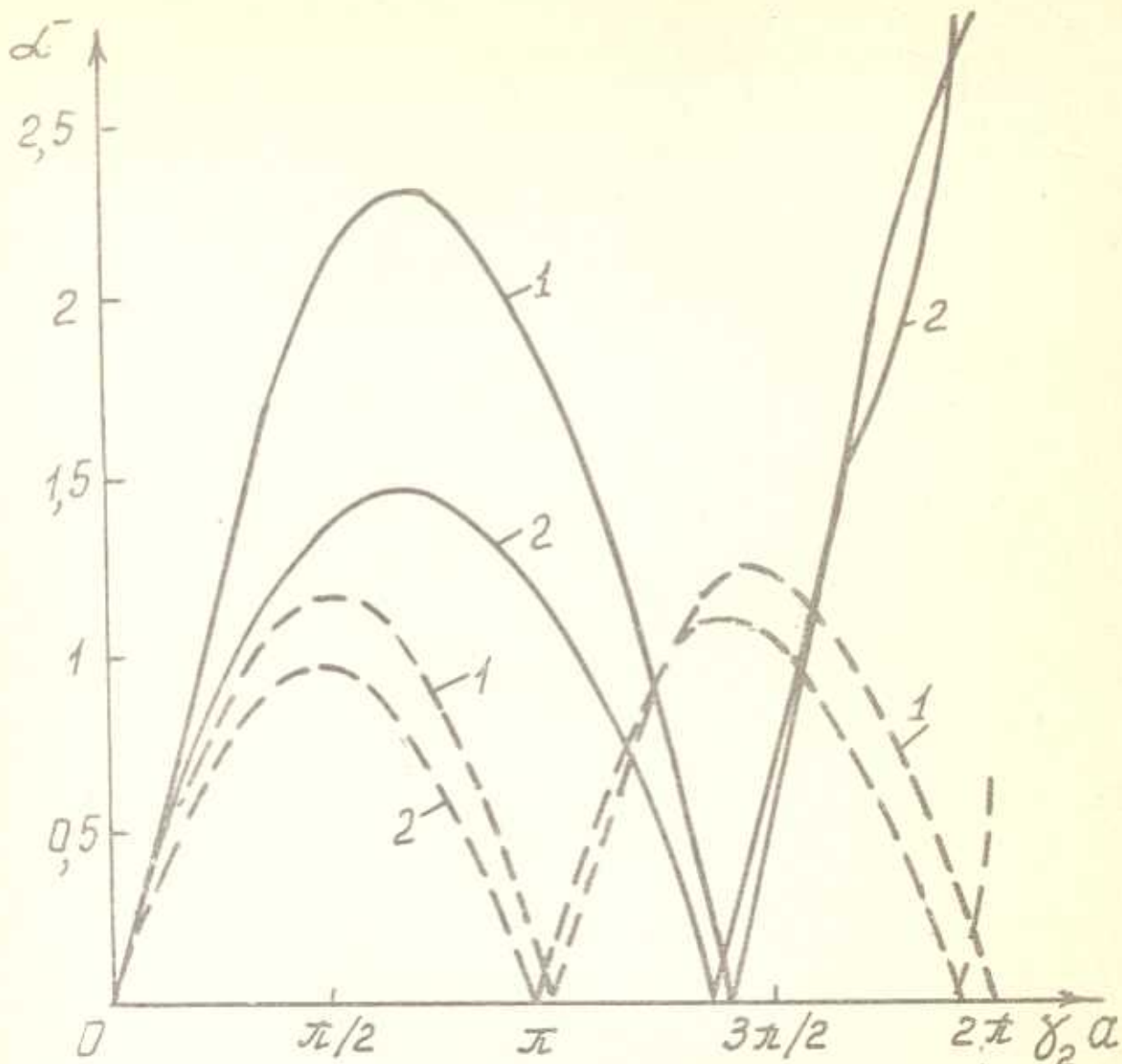
прямолинейной трещины.

$$\sigma_{xz} - i\sigma_{yz} = -\frac{\mu}{2}\sqrt{1+\chi^2} \exp\left(i\frac{\psi_c}{2}\right) \operatorname{Re} [\Omega(\pm 1) \exp(-i\omega t)] \\ \times (\mp 2is'(\pm 1)(z-c))^{-\frac{1}{2}} + O(1), \quad z \rightarrow c \quad (3.1)$$

$$c = \zeta(\pm 1), \quad \psi_c = \psi \mid \zeta = c$$

С учетом (3.1) определяем динамический коэффициент интенсивности напряжений

$$K_{111} = \lim_{r \rightarrow 0} \sqrt{2\pi r} (\sigma_{xz} \cos \psi_c + \sigma_{yz} \sin \psi_c) \quad (3.2)$$

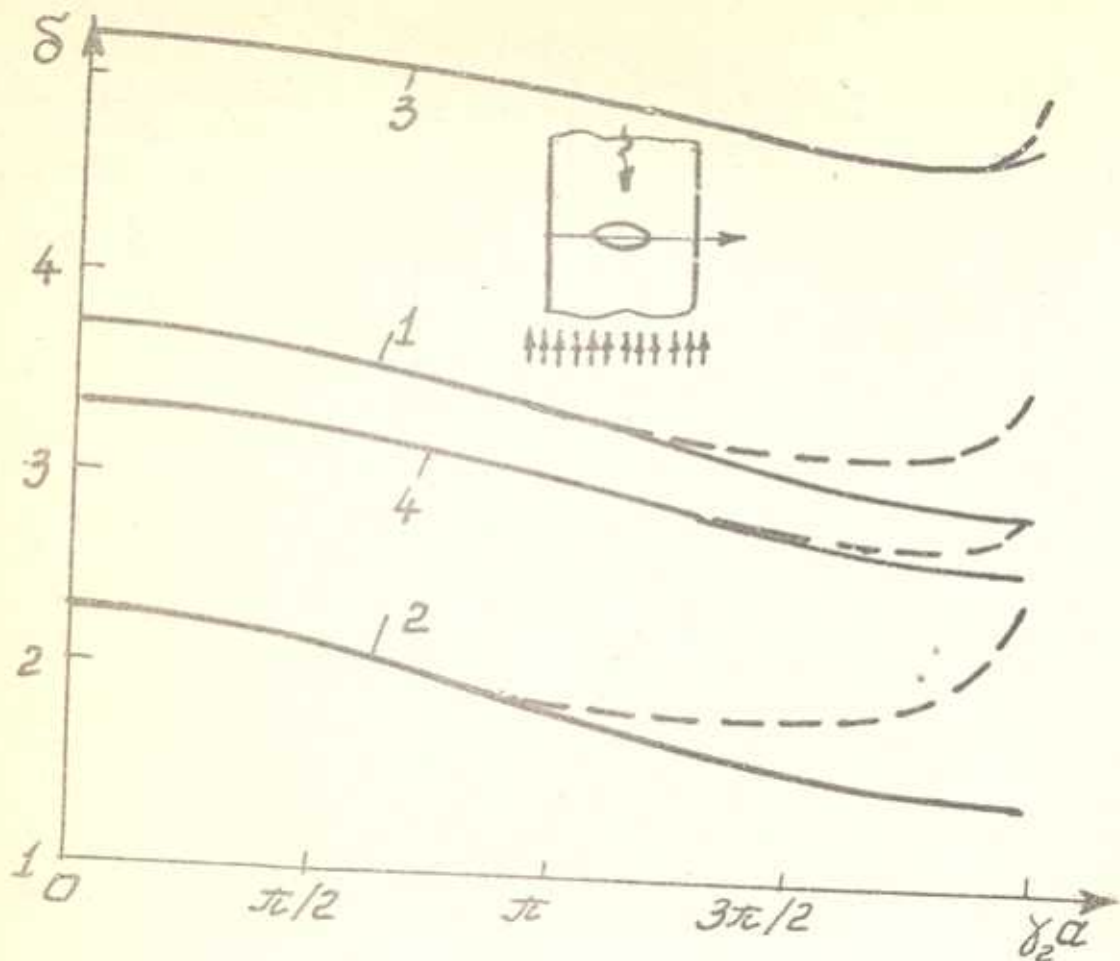


Фиг.2 График зависимости величины  $\tilde{\alpha}$  от нормализованного волнового числа  $\gamma_2 \alpha$ , для прямолинейной поперечной и параболической трещины в полуслое со свободным торцом.

$$= \pm \frac{\mu}{2} \sqrt{\pi(1+\chi^2)} (s'(\pm 1))^{-1} |\Omega(\pm 1)| \cos(\omega t - \arg \Omega(\pm 1))$$

где  $r$ -расстояние от рассматриваемой точки на продолжении трещины до вершины с.

4. Численная реализация уравнений (2.4), (2.5) проводилась методом механических квадратур [8] для случая одного контура  $\Gamma$  (трещина или полость). Уравнение (2.4) удовлетворялось в узлах  $\beta_i = \cos \theta_i$ ,  $\theta_i = \frac{\pi i}{n}$ ,  $i = \overline{1, n-1}$  (для трещины),  $\theta_i = \frac{2\pi(i-1)}{n}$ ,  $i = \overline{1, n}$  (для полости) и сводилось к системе линейных алгебраических уравнений относительно неизвестных значений  $\Omega(\beta_i)$ ,  $\beta_i = \cos \theta_i$ .



Фиг.3. График зависимости величины  $\delta$  от нормализованного волнового числа  $\gamma_2 \alpha$ , для круговой и эллиптической полости в слое

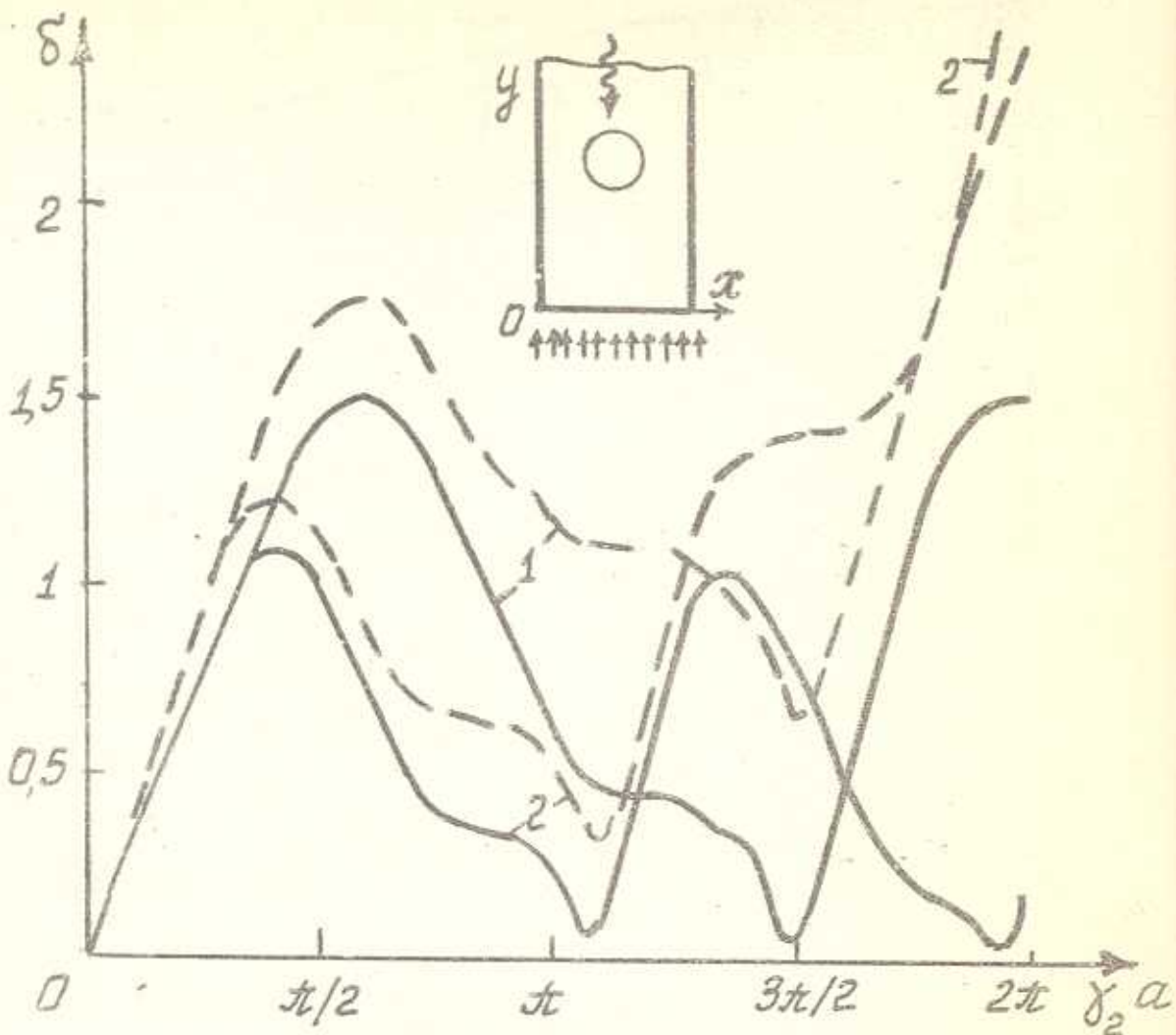
$$\theta_j = \frac{\pi(2j-1)}{2n}, \quad j=1, n \quad (\text{для трещины}), \quad p(s(\theta_j))$$

$\theta_j = \frac{\pi(2j-1)}{n}, \quad j=1, n \quad (\text{для полости})$ . Для замыкания системы в случае трещины использовалось линейное алгебраическое уравнение, вытекающее из условия (2.5). При этом параметрическое представление контура полости бралось в виде  $\zeta = \zeta(\theta), 0 \leq \theta \leq 2\pi$ .

К интегралам в (2.4), (2.5) применялись квадратурные формулы Гаусса-Чебышева (для трещины) и прямоугольников (для полости), имеющие наивысшую алгебраическую степень точности как для регулярных, так и для сингулярных интегралов при указанном выборе узлов.

Квадратурная формула для интеграла по контуру трещины, содержащего функцию  $p(s)$ , получена с использованием интерполяционного многочлена функции  $\Omega(\beta)$  по узлам  $\beta_j$  и имеет вид:

$$\int_{\Gamma} p(s) M(s, s_0) ds = -\frac{2\pi}{n^2} \sum_{j=1}^n \Omega(\beta_j) \sum_{m=1}^n M(s(\beta_m), s_0) s'(\beta_m)$$



Фиг.4. График зависимости величины  $\delta$  от нормализованного волнового числа  $\gamma_2 a$ , для круговой полости в полуслое со свободным торцом.

$$x \sin \theta_m \sum_{k=1}^{\frac{n-1}{2}} \frac{1}{k} \sin(k\theta_m) \cos(k\theta_j), \quad \beta_m = \cos \theta_m, \quad \theta_m = \frac{\pi(2m-1)}{2n} \quad (4.1)$$

Значения внешнегральной плотности для контура полости в узлах определялись при помощи интерполяционного многочлена функций  $p(s(\theta))$  по узлам  $\theta_j$  ( $n$  - нечетное):

$$p(s(\theta_i)) = \frac{1}{n} \sum_{j=1}^n p(s(\theta_j)) (-1)^{i+j} \operatorname{cosec} \frac{\pi}{2n}(2i-2j+1) \quad (4.2)$$

Расчеты безразмерных величин  $\alpha^\pm, \delta$  проведены для случая

дифракции падающей сдвиговой волны ( $t \neq 0$ ) на свободной от сил трещине или полости ( $Z = 0$ ). Коэффициент интенсивности напряжений выражается через  $\alpha^\pm$  следующим образом:

$$K_{111} = \sqrt{a} \alpha^\pm + T_y \cos(\omega t - \arg \Omega(\pm 1)),$$

где  $|T_y| = \frac{\mu \gamma_2 t}{\sqrt{1+\chi^2}}$  — модуль амплитуды механического напряжения  $T_{yz}$  в падающей волне, причем верхний знак отвечает вершине разреза  $\zeta(1)$ , нижний —  $\zeta(-1)$ . Величина  $\delta$  равна отношению модуля амплитуды напряжения  $\sigma_{zz} = -\sigma_{xz} \sin \psi + \sigma_{yz} \cos \psi$  на контуре полости к величине  $|T_y|$ .

На фиг.1 показано изменение величины  $\alpha^-$  от угла ориентации  $\varphi$  прямолинейной трещины длины  $0,2a$ . Параметрическое представление контура  $\Gamma$  следующее:  $\frac{\xi}{a} = 0.5 + 0.1 \beta \cos \varphi$ ,  $\frac{\eta}{a} = |A| + 0.1 \beta \sin \varphi$ ,  $-1 \leq \beta \leq 1$ . Кривые 1 соответствуют распространению упругой волны в слое ( $A = 0$ ) с нормализованным волновым числом  $\gamma_2 a = 1.5$ , кривые 2 и 3 построены для свободной ( $A = 1$ ) и закрепленной ( $A = -1$ ) торцевой границы полуслоя при  $\gamma_2 a = 1.5$  и 3 соответственно. Сплошные кривые отвечают дифракции в присутствии магнитного поля ( $\chi = 1$ ), пунктирные — без него ( $\chi = 0$ ). Характер влияния магнитного поля на коэффициент интенсивности напряжений  $K_{111}$  зависит как от угла ориентации трещины, так и от вида граничного условия на торце  $y = 0$ . Если для поперечной трещины ( $\varphi = 0$ ) внесение внешнего магнитного поля приводит к возрастанию величины  $\alpha^-$ , то с увеличением угла  $\varphi$  магнитное поле создает обратный эффект. Так, при  $\varphi > \frac{\pi}{3}$  в случае полуслоя со свободным торцом величина  $\alpha^-$  несколько уменьшается, при  $\varphi > \frac{\pi}{6}$  в случае полуслоя с закрепленным торцом уменьшение величины  $\alpha^-$  становится значительным.

Значения параметра  $\gamma_2 a$  для полуслоя (фиг.1) были взяты в районе локальных максимумов зависимости  $\alpha^-$  от  $\gamma_2 a$  при  $\varphi = 0$ ,  $\chi = 0$ . Эти максимумы наблюдаются вблизи значений  $\gamma_2 a = \frac{\pi}{2}, \frac{3\pi}{2}, \dots$  ( $A = 1$ ),  $0, \pi, \dots$  ( $A = -1$ ). При увеличении  $\gamma_2 a$  для слоя ( $A = 0$ )  $\alpha^-$  увеличивается незначительно.

Фиг.2 иллюстрирует зависимость коэффициента интенсивности напряжений от волнового числа в случае свободного от сил торцевого края полуслоя с трещиной. Уравнения контура  $\Gamma$  имеют вид:  $\frac{\xi}{a} = 0.5 + 0.1$ ,  $\frac{\eta}{a} = 1 + p_1 \beta^2$ ,  $-1 \leq \beta \leq 1$ . Кривые 1 соответствуют прямолинейной поперечной трещине ( $p_1 = 0$ ), кривые 2 — параболической трещине ( $p_1 = 0.1$ ). Для сплошных кривых  $\chi = 1$ , для пунктирных —  $\chi = 0$ . Увеличивая значения  $\alpha^-$  в широком диапазоне частот, приложенное магнитное поле сдвигает точки экстремумов в сторону больших значений  $\gamma_2 a$ .

На фиг. 3, 4 показано изменение величины  $\delta$  от нормализованного волнового числа  $y_2 a$  в случае полости в слое (фиг. 3) и полуслое со свободным торцом (фиг. 4). Уравнения контура  $\Gamma$  имеют вид:  
 $\frac{\xi}{a} = 0.5 + 0.2 \cos\theta$ ,  $\frac{\eta}{a} = A - p_2 \sin\theta$ ,  $0 \leq \theta \leq 2\pi$ ; для круговой полости ( $p_2 = 0.2$ ), для эллиптической ( $p_2 = 0.1$ ). Кривые 1 - ( $\chi = 1$ ), 2 - ( $\chi = 0$ ) соответствуют круговой полости, кривые 3 - ( $\chi = 1$ ), 4 - ( $\chi = 0$ ) - эллиптической. Сплошные линии отвечают напряжению  $\sigma_{zz}$  в точке  $\theta = 0$ . пунктирные - максимальному напряжению на контуре полости. Напряжения  $\sigma_{zz}$  достигают максимума, как правило, внутри интервала  $-\frac{\pi}{4} < \theta < \frac{\pi}{4}$ . Так, например, в случае круговой полости в слое максимальные напряжения наблюдаются при  $\theta \approx -\frac{\pi}{25}$ , если  $y_2 a = \pi$  и при  $\theta \approx -\frac{\pi}{6}$ , если  $y_2 a = \frac{11\pi}{6}$ ; в полуслое - при  $\theta \approx \frac{\pi}{6}$ , если  $y_2 a = \frac{\pi}{2}$  и при  $\theta \approx -\frac{\pi}{6}$ , если  $y_2 a = \frac{3\pi}{2}$ .

Магнитное поле, действующее на проводящий слой с распространяющейся в нем сдвиговой волной, значительно увеличивает напряжения на контуре полости и несколько препятствует смещению максимума  $\sigma_{zz}$  от значения  $\theta = 0$ . В случае полуслоя влияние магнитного поля на напряженное состояние носит более сложный характер: увеличивающее напряжение  $\sigma_{zz}$  на контуре полости при одних частотах нагружения, уменьшает его при других частотах. Например, для значений  $A = 1$ ,  $p_2 = 0.2$ ,  $\theta = 0$  (фиг. 4, сплошные кривые) при  $y_2 a = 3.37$  приложенное магнитное поле ( $\chi = 1$ ) увеличивает значение  $\frac{\sigma_{zz}}{|T_y|}$  в 7.3 раза, а при  $y_2 a = 4.7$  уменьшает его в 13 раз. Таким образом, за счет внешнего магнитного поля можно управлять (в некоторых пределах) напряженностью тела.

Следует отметить, что принятая модель идеально проводящей среды приводит к погрешностям при значениях  $y_2 a$ , близких к нулю. Для устранения возникающей в этой области некорректности решения необходимо рассматривать существенно более сложную модель, учитывающую конечную проводимость среды.

## ЛИТЕРАТУРА

1. Новацкий В. Электромагнитные эффекты в твердых телах. - М.: Мир, 1986. 160 с.
2. Амбарцумян С.А., Багдасарян Г.Е., Белубекян М.В. Магнитоупругость тонких оболочек и пластин. - М.: Наука, 1977. 272 с.
3. Shindo Y. Diffraction of antiplane shear waves by a finite crack in the presence of the magnetic field - Z. Angew. Math. und Mech. - 1976. - 56, N 1. - P. 33-41.
4. Фильшинский Л.А. Динамическая задача теории упругости для области с криволинейными разрезами (деформация продольного сдвига) - Докл. АН СССР. 1977., 236, N 6, С. 1327-1330.
5. Волкова Л.А., Фильшинский Л.А. Взаимодействие волн напряженний с периодической системой криволинейных трещин продольного сдвига - Журн. прикл. механики и техн. физики., 1981., N 2, С. 164 - 169.
6. Мусхелишвили Н.И. Сингулярные интегральные уравнения. - М.: Физматлит, 1962. 599 с.
7. Свешников А.Г. Принцип предельного поглощения для волновода - Докл. АН СССР.

1951, 80, N 3. C.345-347.

8.Erdogan F.E., Gupta G.D., Cook T.S. The numerical solutions of singular integral equations - Mechanics of Fract. Leyden: Int. Publ. 1973, V. 1 -P. 368-425.

Сумський сільськогосподарський інститут  
Поступила в редакцію 18.03.1991